

УДК 532.517.4

## Уравнения для описания семейства автомодельных решений дальнего поля круглой затопленной турбулентной струи\*

Р.И. Мулляджанов

*Институт теплофизики им. С.С. Кутателадзе СО РАН, Новосибирск  
Новосибирский государственный университет*

E-mail: rustammul@gmail.com

Рассмотрено течение турбулентной круглой затопленной струи в дальнем поле. При помощи известных автомодельных свойств осредненного по времени течения, а также пространственных и временных характеристик всего спектра масштабов турбулентных пульсаций выведены модифицированные уравнения Навье–Стокса. Предложен способ численного расчета этих уравнений для описания семейства автомодельных решений в цилиндрической области с периодическими граничными условиями в продольном направлении, при этом скорость расширения струи входит в полученные уравнения явным образом как параметр.

**Ключевые слова:** турбулентность, автомодельность, затопленная струя, дальнее поле.

В литературе часто используется термин «автомодельность» в контексте турбулентных свободных сдвиговых потоков для обозначения течения, которое не сохраняет признаков своих начальных/граничных условий [1, 2]. Для струй это означает, что детали ближней области не важны при рассмотрении характеристик дальнего поля. Согласно этой концепции струи, истекающие из различных сопловых устройств и имеющие различные выходные профили скорости и уровень пульсаций, все равно должны стремиться к некоторому единому асимптотическому автомодельному решению. Тем не менее, численные [3] и экспериментальные результаты [4] показали, что входные условия влияют на автомодельный режим течения в дальней области осесимметричных струй, для которых из законов сохранения известно, что осредненная по времени осевая скорость  $u_c$  падает обратно пропорционально расстоянию от источника движения, в то время как полуширина струи  $\delta$  линейно растёт.

В работе [1] впервые было аналитически показано, что автомодельное решение для круглой затопленной турбулентной струи при достаточном удалении от начала координат не универсально. «Память» дальнего поля о спектральных характеристиках турбулентности в ближнем поле вырождается в семейство автомодельных решений, где скорость расширения струи  $d\delta/dx$  играет роль параметра, при этом  $x$  обозначает продольную координату вдоль распространения потока. Другим важным фактом является то, что

---

\* Работа выполнена при финансовой поддержке гранта РФФИ № 14-19-01685.

спектр турбулентных пульсаций, нормированных на локальные характеристики ( $u_c$  и  $\delta$ ), не меняет форму с изменением  $x$  [5, 6], т.е. все масштабы пульсаций эволюционируют автомодельно. Еще одним значимым результатом [7, 8] является то, что для транспортных уравнений на двухточечные корреляции можно применить метод разделения переменных для радиальной и продольной координат, если двухточечные корреляции зависят только от разности  $\zeta_2 - \zeta_1$ , где  $\zeta = \log x$ , при этом индексы 1 и 2 соответствуют двум произвольным точкам в пространстве. Таким образом, в турбулентной круглой струе помимо азимутального направления существует еще одна однородная координата — логарифм продольной координаты. В настоящей работе при помощи перечисленных автомодельных свойств струйных течений в дальнем поле выводятся модифицированные уравнения Навье–Стокса.

Согласно линейному росту локального характерного размера с увеличением  $x$ , в случае численного расчета удобно рассматривать коническую область в физическом пространстве, которую, однако, можно представить в виде цилиндра, если использовать переменную  $\eta = r/\delta$  вместо  $r$  (см. рисунок). Важно отметить, что в координатах  $(\zeta, \eta, \varphi)$ , где  $\zeta = \log x$ ,  $\eta = r/\delta$ , а  $\varphi$  обозначает азимутальный угол вокруг цилиндрической оси симметрии, пространственный масштаб характерных вихрей не изменяется в продольном и поперечном направлениях. Очевидно, что угловую переменную преобразовывать не нужно. Последней переменной задачи, которую необходимо модифицировать, является время  $t$ . Интуитивно понятно, что характерное время оборота вихря будет тем меньше, чем ближе вихрь находится к началу координат, где характерные масштабы меньше, а скорости выше. Опишем эти зависимости математически. Для всех масштабов в струе характерное время вниз по течению растет как  $t \sim \delta(x)/u_c(x) \sim x^2$ . Преобразуем переменную  $t$  таким образом, чтобы характерное время оборота вихря определенного масштаба было одинаково вдоль  $\zeta$ . Очевидной заменой переменной является комбинация  $\tau = t/\delta(x)^2$ , где  $\delta(x) = \alpha x$ , при этом  $\alpha = \alpha(*)$  обозначает скорость расширения струи и является функцией начальных условий \* (около сопла) [1]. Однако при такой замене переменная  $\tau$  явным образом входит в выражение для частной производной по  $x$ . Вместо этого будем использовать нормировку  $\tau = \log [t/\delta(x)^2]$ . Тогда, применяя правило перехода от  $x_i = (t, x, r, \varphi)$  к  $\zeta_i = (\tau, \zeta, \eta, \varphi)$  для производных в виде

$$\frac{\partial}{\partial x_i} = \sum_{j=1}^3 \frac{\partial \zeta_j}{\partial x_i} \cdot \frac{\partial}{\partial \zeta_j}, \tag{1}$$

получим следующие выражения:

$$\begin{aligned} \frac{\partial}{\partial t} &= \alpha^{-2} e^{-2\zeta} e^{-\tau} \frac{\partial}{\partial \tau}, & \frac{\partial}{\partial x} &= -2e^{-\zeta} \frac{\partial}{\partial \tau} + e^{-\zeta} \frac{\partial}{\partial \zeta} - e^{-\zeta} \eta \frac{\partial}{\partial \eta}, \\ \frac{\partial}{\partial r} &= \alpha^{-1} e^{-\zeta} \frac{\partial}{\partial \eta}, & \frac{\partial}{\partial \varphi} &= \frac{\partial}{\partial \varphi}. \end{aligned} \tag{2}$$

С таким преобразованием переменной времени явная зависимость от  $\tau$  в  $\partial/\partial x$  отсутствует, однако появляется множитель  $e^{-\tau}$  в производной  $\partial/\partial t$ . Вместо поля скорости  $\mathbf{u} = (u_x, u_r, u_\varphi)$

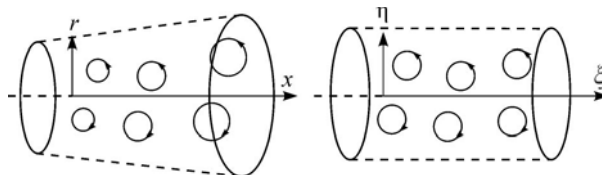


Рис. Схематическое изображение области автомодельного струйного течения в цилиндрических координатах (слева) и новых модифицированных координатах (справа).

и давления  $p$  рассмотрим некоторые «приведенные» поля  $\mathbf{v}$  и  $q$ , где уже учтено затухание в продольном направлении, которое продиктовано автомодельными свойствами струйных течений:

$$\begin{aligned} \mathbf{u}(x, r, \varphi, t) &= \mathbf{v}(\xi, \eta, \varphi, \tau) / \delta(x) = \alpha^{-1} e^{-\xi} \mathbf{v}(\xi, \eta, \varphi, \tau), \\ u_x &= \alpha^{-1} e^{-\xi} v_\xi, \quad u_r = \alpha^{-1} e^{-\xi} v_\eta, \quad u_\varphi = \alpha^{-1} e^{-\xi} v_\varphi, \\ p(x, r, \varphi, t) &= q(\xi, \eta, \varphi, \tau) / \delta(x)^2 = \alpha^{-2} e^{-2\xi} q(\xi, \eta, \varphi, \tau). \end{aligned} \quad (3)$$

Следует отметить, что все поля можно считать безразмерными на характерные значения в подводящем канале — диаметр сопла и среднерасходную в нем скорость. Далее преобразования (2) и (3) применяются к компонентам уравнения Навье–Стокса, записанных в цилиндрической системе координат  $(x, r, \varphi)$ . Таким образом, предлагается получить транспортные уравнения на вектор  $\mathbf{v}$ , компоненты которого для удобства обозначим как  $\mathbf{v} = (v_\xi, v_\eta, v_\varphi)$ . Рассмотрим модифицированное уравнение неразрывности. Для приведенного поля скорости в новых пространственно-временных координатах получим:

$$\frac{\partial v_\xi}{\partial \xi} + \frac{1}{\eta} \cdot \frac{\partial(\eta v_\eta)}{\partial \eta} + \frac{1}{\eta} \cdot \frac{\partial v_\varphi}{\partial \varphi} = S_c, \quad S_c = \frac{\partial v_\xi}{\partial \xi} + \alpha \left( v_\xi - \frac{\partial v_\xi}{\partial \xi} + \eta \frac{\partial v_\xi}{\partial \eta} + 2 \frac{\partial v_\xi}{\partial \tau} \right), \quad (4)$$

где слева в уравнении неразрывности формально стоит оператор дивергенции, действующий на  $\mathbf{v}$ , а справа — несколько новых слагаемых, объединенных в источниковый член  $S_c$ . Компоненты векторного уравнения, соответствующего закону сохранения импульса в цилиндрических координатах в безразмерном виде для приведенных полей  $\mathbf{v}$  и  $q$  в новых координатах имеют вид:

$$\begin{aligned} x: \quad e^{-\tau} \frac{\partial v_\xi}{\partial \tau} + (\mathbf{v} \cdot \nabla') v_\xi &= -\frac{\partial q}{\partial \xi} + \frac{1}{\text{Re}} \Delta' v_\xi + S_\xi, \\ r: \quad e^{-\tau} \frac{\partial v_\eta}{\partial \tau} + (\mathbf{v} \cdot \nabla') v_\eta - \frac{v_\varphi^2}{\eta} &= -\frac{\partial q}{\partial \eta} + \frac{1}{\text{Re}} \left( \Delta' v_\eta - \frac{v_\eta}{\eta^2} - \frac{2}{\eta^2} \cdot \frac{\partial v_\varphi}{\partial \varphi} \right) + S_\eta, \\ \varphi: \quad e^{-\tau} \frac{\partial v_\varphi}{\partial \tau} + (\mathbf{v} \cdot \nabla') v_\varphi + \frac{v_\eta v_\varphi}{\eta} &= -\frac{1}{\eta} \cdot \frac{\partial q}{\partial \varphi} + \frac{1}{\text{Re}} \left( \Delta' v_\varphi - \frac{v_\varphi}{\eta^2} + \frac{2}{\eta^2} \cdot \frac{\partial v_\varphi}{\partial \varphi} \right) + S_\varphi, \end{aligned} \quad (5)$$

где  $\text{Re}$  — число Рейнольдса, построенное, к примеру, по локальным характеристикам, при этом

$$\begin{aligned} (\mathbf{v} \cdot \nabla') &= v_\xi \frac{\partial}{\partial \xi} + v_\eta \frac{\partial}{\partial \eta} + \frac{v_\varphi}{\eta} \cdot \frac{\partial}{\partial \varphi}, \\ \Delta' &= \frac{\partial^2}{\partial \xi^2} + \frac{1}{\eta} \cdot \frac{\partial}{\partial \eta} \left( \eta \frac{\partial}{\partial \eta} \right) + \frac{1}{\eta^2} \cdot \frac{\partial^2}{\partial \varphi^2}, \end{aligned} \quad (6)$$

где оператор Лапласа в новых координатах также формально совпадает с выражением в цилиндрических координатах и введен для удобства. Здесь штрихи у дифференциальных операторов означают дифференцирование по новым координатам. Источниковые слагаемые  $S_\xi$ ,  $S_\eta$  и  $S_\varphi$  в правой части уравнений (5) выражаются как

$$\begin{aligned} S_\xi &= v_\xi \frac{\partial v_\xi}{\partial \xi} + \alpha \left( 2v_\xi \frac{\partial v_\xi}{\partial \tau} + v_\xi^2 - v_\xi \frac{\partial v_\xi}{\partial \xi} + \eta v_\xi \frac{\partial v_\xi}{\partial \eta} \right) + \frac{\partial q}{\partial \xi} + \\ &+ \alpha \left( 2 \frac{\partial q}{\partial \tau} + 2q - \frac{\partial q}{\partial \xi} + \eta \frac{\partial q}{\partial \eta} \right) - \frac{1}{\text{Re}} \cdot \frac{\partial^2 v_\xi}{\partial \xi^2} + \frac{\alpha^2}{\text{Re}} \left( 2v_\xi + 4\eta \frac{\partial v_\xi}{\partial \xi} + \eta^2 \frac{\partial^2 v_\xi}{\partial \eta^2} - 3 \frac{\partial v_\xi}{\partial \xi} \right) + \end{aligned}$$

$$\begin{aligned}
& + \frac{\alpha^2}{\text{Re}} \left( -2\eta \frac{\partial^2 v_\xi}{\partial \xi \partial \eta} + \frac{\partial^2 v_\xi}{\partial \xi^2} + 6 \frac{\partial v_\xi}{\partial \tau} + 4\eta \frac{\partial^2 v_\xi}{\partial \tau \partial \eta} - 4 \frac{\partial^2 v_\xi}{\partial \tau \partial \xi} + 4 \frac{\partial^2 v_\xi}{\partial \tau^2} \right), \quad (7) \\
S_\eta = & v_\xi \frac{\partial v_\eta}{\partial \xi} + \alpha \left( 2v_\xi \frac{\partial v_\eta}{\partial \tau} + v_\xi v_\eta - v_\xi \frac{\partial v_\eta}{\partial \xi} + \eta v_\xi \frac{\partial v_\eta}{\partial \eta} \right) - \frac{1}{\text{Re}} \cdot \frac{\partial^2 v_\eta}{\partial \xi^2} + \\
& + \frac{\alpha^2}{\text{Re}} \left( 2v_\eta + 4\eta \frac{\partial v_\eta}{\partial \eta} + \eta^2 \frac{\partial^2 v_\eta}{\partial \eta^2} - 3 \frac{\partial v_\eta}{\partial \xi} - 2\eta \frac{\partial^2 v_\eta}{\partial \xi \partial \eta} + \frac{\partial^2 v_\eta}{\partial \xi^2} + 6 \frac{\partial v_\eta}{\partial \tau} + 4\eta \frac{\partial^2 v_\eta}{\partial \tau \partial \eta} - 4 \frac{\partial^2 v_\eta}{\partial \tau \partial \xi} + 4 \frac{\partial^2 v_\eta}{\partial \tau^2} \right), \\
S_\varphi = & v_\xi \frac{\partial v_\varphi}{\partial \xi} + \alpha \left( 2v_\xi \frac{\partial v_\varphi}{\partial \tau} + v_\xi v_\varphi - v_\xi \frac{\partial v_\varphi}{\partial \xi} + \eta v_\xi \frac{\partial v_\varphi}{\partial \eta} \right) - \frac{1}{\text{Re}} \cdot \frac{\partial^2 v_\varphi}{\partial \xi^2} + \\
& + \frac{\alpha^2}{\text{Re}} \left( 2v_\varphi + 4\eta \frac{\partial v_\varphi}{\partial \eta} + \eta^2 \frac{\partial^2 v_\varphi}{\partial \eta^2} - 3 \frac{\partial v_\varphi}{\partial \xi} - 2\eta \frac{\partial^2 v_\varphi}{\partial \xi \partial \eta} + \frac{\partial^2 v_\varphi}{\partial \xi^2} + 6 \frac{\partial v_\varphi}{\partial \tau} + 4\eta \frac{\partial^2 v_\varphi}{\partial \tau \partial \eta} - 4 \frac{\partial^2 v_\varphi}{\partial \tau \partial \xi} + 4 \frac{\partial^2 v_\varphi}{\partial \tau^2} \right).
\end{aligned}$$

Отметим, что в источниковых членах появляются производные по времени первого и второго порядка, а также смешанные производные по времени и пространственным координатам. Полученная система уравнений является нестандартной для вычислительной гидродинамики. Дальнейшие исследования должны предоставить информацию о свойствах этой системы и ее корректной постановке для численного расчета.

В настоящей работе при помощи известных автомодельных свойств осредненного по времени течения, а также пространственных и временных характеристик всего спектра масштабов турбулентных пульсаций струйного течения в дальнем поле выведены модифицированные уравнения Навье–Стокса. Несмотря на свою громоздкость, полученная система уравнений (3)–(7), по мнению автора, должна позволить провести численные расчеты в цилиндрической области с периодическими граничными условиями вдоль  $\xi$ , поскольку осредненные по времени и спектральные характеристики приведенных полей скорости и давления не изменяются вдоль  $\xi$ . Это даст возможность построить карту *всех* возможных автомодельных решений в пространстве параметров  $\alpha$  и  $\text{Re}$ , что является целью дальнейших исследований.

Автор благодарит Д.Ф. Сиковского, А. Ходжича и В.К. Джорджа за обсуждения результатов данной работы. Автор также благодарит рецензента за ряд ценных замечаний.

### Список литературы

1. **George W.K.** The self-preservation of turbulent flows and its relation to initial conditions and coherent structures // *Advances in turbulence 2* / Ed. by H.-H. Fernholz, H.E. Fiedler. Berlin: Springer, 1989. P. 39–73.
2. **George W.K.** Asymptotic effect of initial and upstream conditions on turbulence // *J. Fluids Engin.* 2012. Vol. 134, No. 6. P. 061203-1–061203-27.
3. **Boersma B.J., Brethouwer G., Nieuwstadt F.T.M.** A numerical investigation on the effect of the inflow conditions on the self-similar region of a round jet // *Phys. Fluids.* 1998. Vol. 10, No. 4. P. 899–909.
4. **Mi J., Nobes D.S., Nathan G.J.** Influence of jet exit conditions on the passive scalar field of an axisymmetric free jet // *J. Fluid Mech.* 2001. Vol. 432. P. 91–125.
5. **Burattini P., Antonia R.A., Danaïla L.** Similarity in the far field of a turbulent round jet // *Phys. Fluids.* 2005. Vol. 17. P. 025101–025115.
6. **Mullyadzhанov R.I., Sandberg R.D., Abdurakipov S.S., George W.K., Hanjalic K.** Propagating helical waves as a building block of round turbulent jets // *Phys. Rev. Fluids.* 2018. Vol. 3, No. 6. P. 062601-1–062601-9.
7. **Ewing D.** On multi-point similarity solutions in turbulent free-shear flows: Ph.D. thesis / D. Ewing; State University of New York at Buffalo, 1995. 261 p.
8. **Ewing D., Frohnapfel B., George W.K., Pedersen J.M., Westerweel J.** Two-point similarity in the round jet // *J. Fluid Mech.* 2007. Vol. 577. P. 309–330.

Статья поступила в редакцию 23 марта 2018 г.,  
после доработки — 21 мая 2018 г.